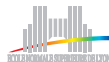


Des signaux stationnaires en quel sens ?

Patrick Flandrin¹

Cnrs & École normale supérieure de Lyon
Laboratoire de Physique, Équipe SiSyPhE

Journée See-Académie des Sciences
27 janvier 2009



¹ avec la collaboration de Pierre-Olivier Amblard (CNRS & GIPSA-lab), Pierre Borgnat (CNRS & ENS Lyon), Cédric Richard (UTT) et Jun Xiao (ENS Lyon & ECNU Shanghai)

Quel(s) problème(s) ?

- concept de stationnarité
 - **omniprésent** en traitement du signal et des images
 - **pré-requis** pour de nombreuses tâches (analyse, modélisation, ...) mais **idéalisation** presque jamais observée
- de la théorie à la pratique
 1. définition **fortement contrainte** (cadre **stochastique**, e.g., $\mathbb{E}x(t)x(t-\tau) = \gamma_x(\tau)$ + invariance par rapport à **tout** temps t et **tout** décalage τ) très souvent **implicitement assouplie** (cadre **déterministe**, e.g., $x(t) \sim x(t - kT)$ + invariance par rapport à des temps t et/ou des décalages kT **restreints**)
 2. stationnarité de temps ou d'espace = forme particulière d'**homogénéité**

approches unifiées et opérationnelles ?

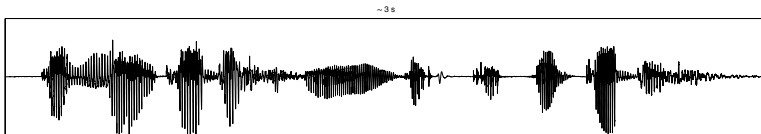
Stationnarité ?
●○○○○○○○○○

Non-stationnarité(s)
○○○○○○○

Stationnarités
○○○○○○○○○○○○○○

Quelles applications ?
○○○○○○○○○○○○○○

L'exemple de la parole



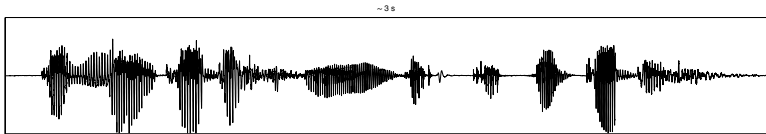
Stationnarité ?
○○●○○○○○○○

Non-stationnarité(s)
○○○○○○○

Stationnarités
○○○○○○○○○○○○○

Quelles applications ?
○○○○○○○○○○○○○

“non stationnaire”



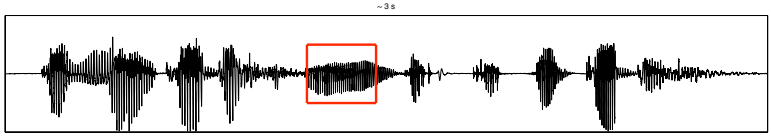
Stationnarité ?
○○●○○○○○○

Non-stationnarité(s)
○○○○○○○

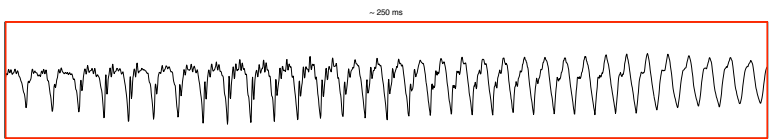
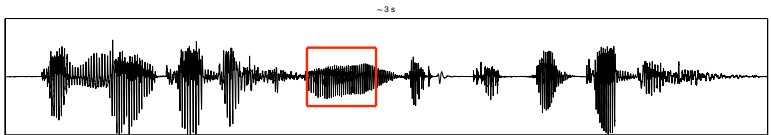
Stationnarités
○○○○○○○○○○○○○○

Quelles applications ?
○○○○○○○○○○○○○○

?



“stationnaire”



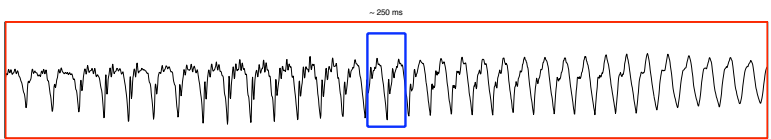
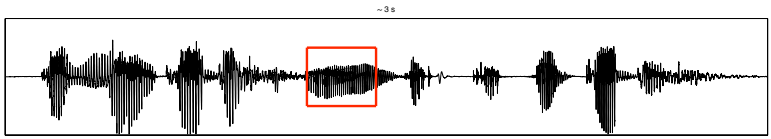
Stationnarité ?
○○○○○●○○○○

Non-stationnarité(s)
○○○○○○○

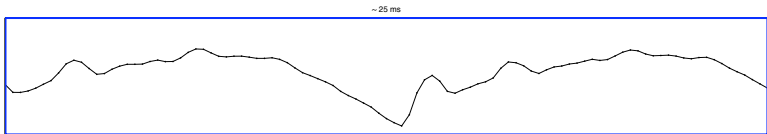
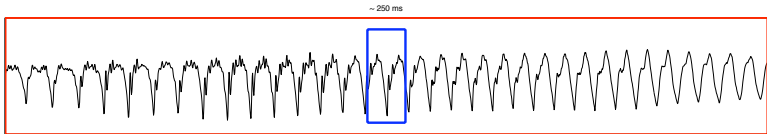
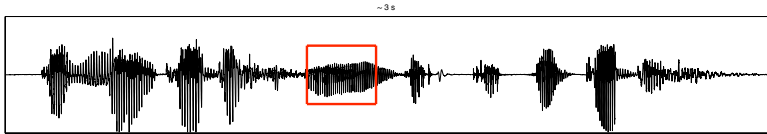
Stationnarités
○○○○○○○○○○○○○○

Quelles applications ?
○○○○○○○○○○○○○○

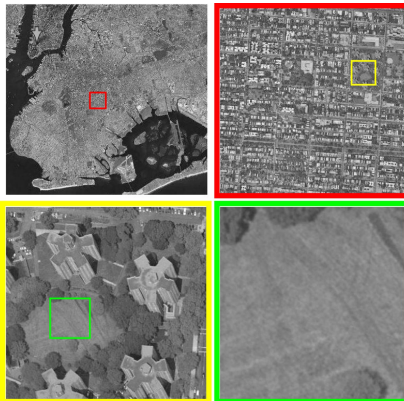
?



“non stationnaire” !



Un exemple 2D



point de vue relatif + imbrication à travers les échelles

Plusieurs voies d'approche

1. **adapter** les méthodes stationnaires à des situations moins contraintes (stationnarité “locale”, évolutions “lentes”, etc.)
2. **développer** des méthodes nouvelles explicitement dédiées à des cas plus généraux
3. **étendre** la notion de stationnarité usuelle

Plan de l'exposé

1. stationnarité et **non-stationnarités**
 - harmonisabilité → temps-fréquence
 - représentations et estimations
 - un cadre unifié stochastique/déterministe
 - stationnarité relative et test
2. stationnarité et **stationnarités généralisées**
 - invariance d'échelle et transformation de Lamperti
 - au-delà de Lamperti
 - stationnarités de groupe
3. quelles (non-)stationnarités pour **quelles applications ?**

résultats généraux et interprétations

Stationnarité

Définition

Étant donné l'opérateur de translation de maille τ tel que $(S_\tau Y)(t) := Y(t + \tau)$, un processus $\{Y(t), t \in \mathbb{R}\}$ est dit *stationnaire* si $\{(S_\tau Y)(t), t \in \mathbb{R}\} \stackrel{d}{=} \{Y(t), t \in \mathbb{R}\}, \forall \tau \in \mathbb{R}$

- stationnarité faible (2ème ordre) → **représentation spectrale** (Wiener-Khintchine-Bochner)

$$\Gamma_Y(\tau) := \mathbb{E} Y(t) Y^*(t \pm \tau) = \int_{\mathbb{R}} e^{i2\pi\tau f} dS_Y(f)$$

- décomposition **doublement orthogonale** (en un sens *déterministe* pour les modes de Fourier et *stochastique* pour les poids)

Harmonisabilité

Définition (Loève, 1962)

Un processus $\{Y(t), t \in \mathbb{R}\}$ est dit harmonisable s'il admet une représentation spectrale sur des modes de Fourier, mais avec des poids corrélés

- représentation **non diagonale** de la covariance

$$R_Y(t, t') := \mathbb{E} Y(t) Y^*(t') = \iint_{\mathbb{R}^2} e^{i2\pi(tf - t'f')} d^2\Phi_Y(f, f')$$

- nécessité de **deux** variables de description \rightarrow
temps-temps, fréquence-fréquence ou **temps-fréquence**



Représentations

- constructions axiomatiques par **unicité conditionnelle**

$$\begin{array}{ccc}
 Y(t) & \rightarrow & \rho_Y(t, f) \\
 \downarrow & & \downarrow \\
 (\mathbf{T}Y)(t) & \rightarrow & \rho_{\mathbf{T}Y}(t, f) = (\tilde{\mathbf{T}}\rho_Y)(t, f)
 \end{array}$$

- exemple central ($\mathbf{T} = \mathcal{S}_{\tau, \xi}$, $\rho_Y \in \mathbb{R}$, marginales, etc.) \Rightarrow **spectre de Wigner** :

$$\mathbf{W}_Y(t, f) = \int_{\mathbb{R}} R_Y\left(t + \frac{\tau}{2}, t - \frac{\tau}{2}\right) e^{-i2\pi f\tau} d\tau$$

- $Y(t)$ stationnaire $\Rightarrow \mathbf{W}_Y(t, f) = \Gamma_Y(\tau), \forall \tau \in \mathbb{R}$
- interprétation en termes de **spectre local** (TF de la corrélation locale) ▸ estimations

Une perspective temps-fréquence sur la stationnarité

Observation

*Pour être **opérationnel**, le concept de stationnarité doit être rendu **relatif** et **testable***

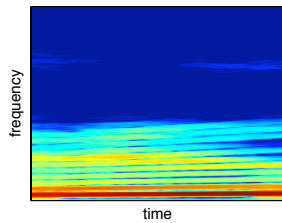
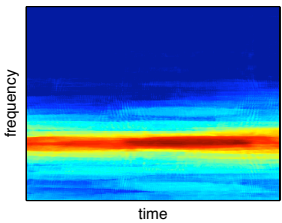
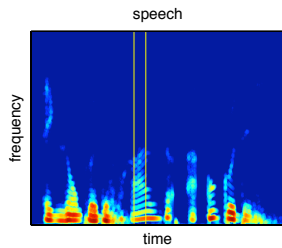
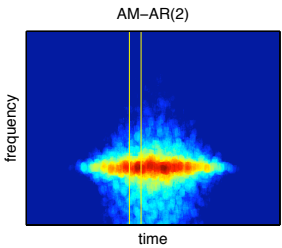
Idée

L'approche temps-fréquence offre un cadre naturel pour :

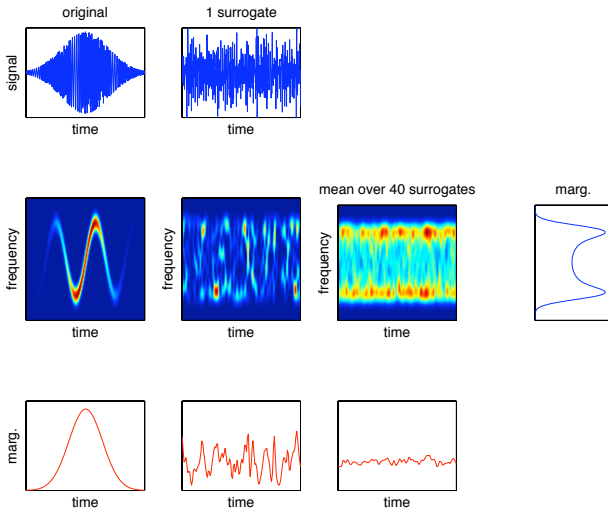
1. la mise en évidence de non-stationnarités éventuelles par comparaison **“local vs. global”**
2. leur test via une **référence stationnaire**

[Xiao, Borgnat, Richard & F., *IEEE-SSP* 2007]

1. Local vs. global

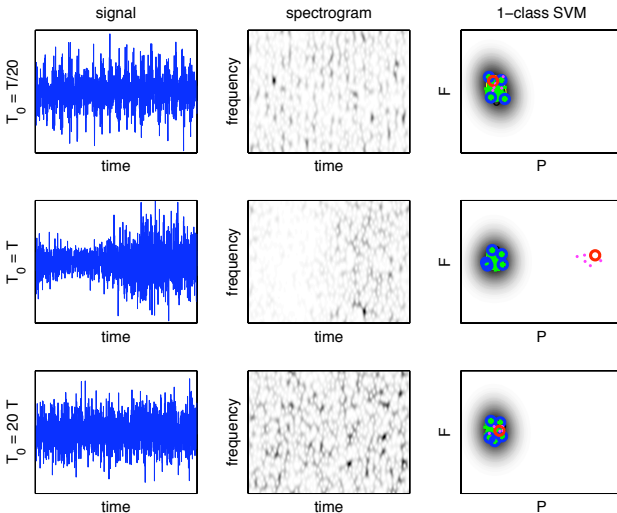


2. Référence stationnarisée par substitués



Un exemple de test de stationnarité relative

substituts et apprentissage



D'autres formes de stationnarité

Interprétation

Stationnarité = invariance par changement d'observation

Idée

Extension et généralisation à d'autres changements que la translation

1. $1D \rightarrow 2D \rightarrow nD$: **homogénéité** (isotropie, etc.)
2. exemple de l'**invariance d'échelle** [▶ ondelettes](#)

Invariance d'échelle et Lamperti

Définition

Étant donné l'opérateur renormalisé de changement d'échelle d'un facteur λ tel que $(\mathcal{D}_{H,\lambda}X)(t) := \lambda^{-H} X(\lambda t)$, un processus $\{X(t), t > 0\}$ est dit **auto-similaire** d'indice H (ou "H-ss") si $\{(\mathcal{D}_{H,\lambda}X)(t), t > 0\} \stackrel{d}{=} \{X(t), t > 0\}, \forall \lambda > 0$.

Définition

La **transformée de Lamperti** \mathcal{L}_H agit sur les processus $\{Y(t), t \in \mathbb{R}\}$ selon $(\mathcal{L}_H Y)(t) := t^H Y(\log t), t > 0$ et la transformée inverse \mathcal{L}_H^{-1} sur les processus $\{X(t), t > 0\}$ selon $(\mathcal{L}_H^{-1} X)(t) := e^{-Ht} X(e^t), t \in \mathbb{R}$.

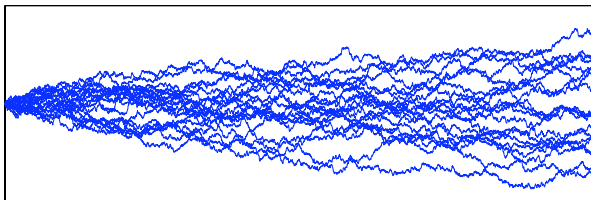
[Lamperti, *Trans. Amer. Math. Soc.* 1962]

Théorème

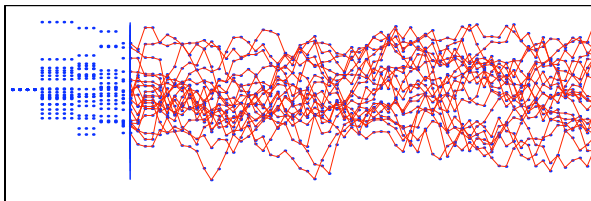
Si $\{Y(t), t \in \mathbb{R}\}$ est stationnaire, sa transformée de Lamperti est H-ss. Réciproquement, si $\{X(t), t > 0\}$ est H-ss, sa transformée de Lamperti inverse est stationnaire.

L'exemple du mouvement brownien

Brownian motion



Lamperti-stationarized Brownian motion



Lamperti et Mellin

- la transformée de Lamperti du **mode de Fourier**

$$Y_0(t) := a \cos(2\pi f_0 t + \varphi), t \in \mathbb{R},$$

est le **"chirp" hyperbolique** (auto-similaire) :

$$X_0(t) := (\mathcal{L}_H Y_0)(t) = a t^H \cos(2\pi f_0 \log t + \varphi), t > 0.$$

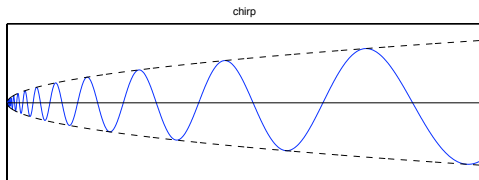
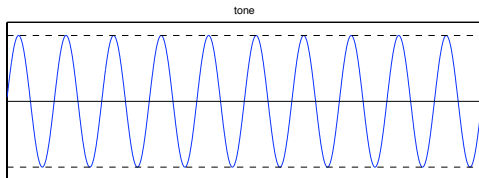
- $X_0(t) = \operatorname{Re}\{a e^{i\varphi} m_{H,f_0}(t)\}$, avec $m_{H,\beta}(t) := t^{H+i2\pi\beta}$ la
brique de base de la **transformée de Mellin** :

$$(\mathcal{M}_H X)(\beta) := \int_{\mathbb{R}_+} X(t) m_{H,\beta}^*(t) \frac{dt}{t^{2H+1}};$$

$$X(t) = \int_{\mathbb{R}} (\mathcal{M}_H X)(\beta) m_{H,\beta}(t) d\beta.$$

Fréquence pure et “chirp”

“Mellin = Fourier anamorphosé”



Invariance d'échelle discrète et cyclostationnarité

Définition

Un processus $\{X(t), t > 0\}$ est dit *invariant d'échelle discrète* d'indice H et de facteur λ (ou “ (H, λ) -DSI”) si

$$\{(\mathcal{D}_{H, \lambda^n} X)(t), t > 0\} \stackrel{d}{=} \{X(t), t > 0\}, \forall n \in \mathbb{N}.$$

[Sornette, *Phys. Rep.* 1998]

Résultat

L'invariance d'échelle discrète (H, λ) -DSI est équivalente, par transformation de Lamperti, à la *cyclostationnarité* de période élémentaire $T = \log \lambda$.

[Borgnat, F. & Amblard, *IEEE SPL* 2002]

Corollaire

Un processus (H, λ) -DSI possède un *spectre de Mellin discret*.

Exemple

La fonction de *Weierstrass-Mandelbrot*.

Weierstrass-Mandelbrot

Définition (originale)

Modes de Fourier en progression *géométrique*

$$W(t) := \sum_{n=0}^{\infty} \lambda^{-nH} \cos \lambda^n t, \lambda > 1.$$

[Weierstrass, 1872]

Définition (modifiée)

$$W_g(t) := \sum_{n=0}^{\infty} \lambda^{-nH} (g(0) - g(\lambda^n t)) e^{i\varphi_n}, \lambda > 1,$$

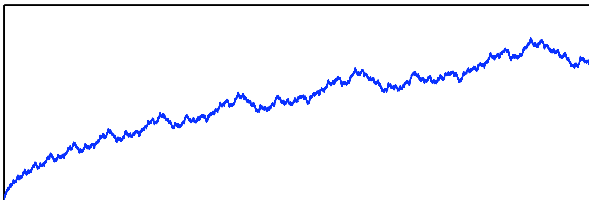
avec $g(\cdot)$ 2π -périodique et $\varphi_n \in \mathcal{U}(0, 2\pi)$.

[Mandelbrot 1977]

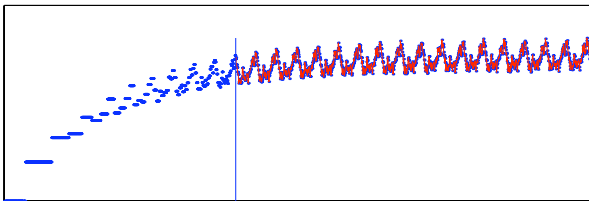
[Berry & Lewis, *Proc. Roy. Soc. London A* 1980]

Weierstrass

Weierstrass function (H = 0.5)



"Delampertized" Weierstrass function



Weierstrass, de Fourier à Mellin

Résultat

La fonction de Weierstrass-Mandelbrot est (H, λ) -DSI et admet la décomposition de Mellin équivalente :

$$W_g(t) = \sum_{m=-\infty}^{\infty} \frac{(\mathcal{M}_H G)(m/\log \lambda)}{\log \lambda} m_{H, m/\log \lambda}(t),$$

avec $G(t) := g(0) - g(t)$.

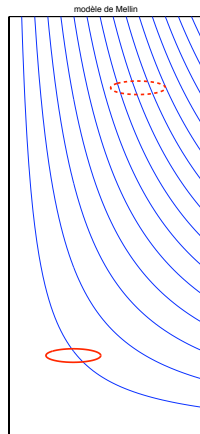
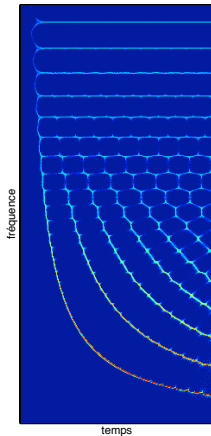
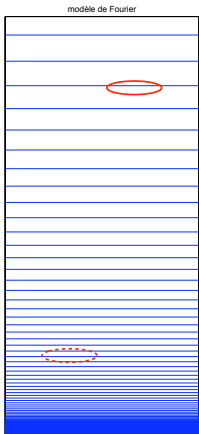
[Borgnat & F., ACHA 2003]

Interprétation

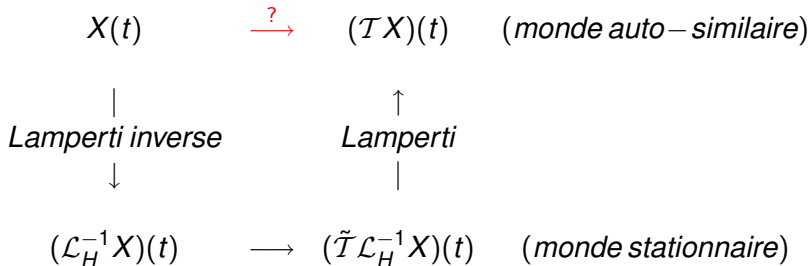
Co-existence naturelle des deux lectures (Fourier et Mellin) dans le plan temps-fréquence.

Weierstrass et temps-fréquence

entre Fourier et Mellin



Un cadre général



- harmonisabilité **multiplicative** [Gray & Zhang, *JTSA* 1988]
- théorie des **systèmes invariants d'échelle**
[Yazici & Kashyap, *IEEE T-SP* 1997]
- **estimation** de processus auto-similaires
[Nuzman & Poor, *J. Appl. Proba.* 2000]

Lamperti et au-delà

- invariances **globales** = modèles **idéalisés**
- deux points de vue complémentaires :
 1. **appliquer** Lamperti à des formes **modifiées** de stationnarité (invariance d'échelle discrète, quasi-stationnarité, etc.)
 2. **modifier** Lamperti pour l'**adapter** à des invariances réduites ou brisées
- exemple de l'**invariance d'échelle brisée**

$$(\mathcal{D}_{H,\lambda}X)(t) := \lambda^{-H} X(\lambda t) \rightarrow (\mathcal{D}_{H,\lambda}^g X)(t) := g(\lambda) \otimes X(\lambda \odot t),$$

avec invariance sur un **domaine d'échelles** \mathbb{A} et une **gamme d'amplitudes** \mathbb{X} tels que les groupes (\mathbb{A}, \odot) et (\mathbb{X}, \otimes) soient isomorphes à (\mathbb{R}_*^+, \times) ▶ Lamperti généralisé

[Borgnat, Amblard & F., *J. Phys. A* 2005]

Stationnarité généralisée

- stationnarité usuelle basée sur le groupe des **translations**, auto-similarité sur celui des **dilatations**
 - “chirp = mode de Fourier anamorphosé”
 - \Rightarrow anamorphoses \neq $\{\log, \exp\}$?
- stationnarité **généralisée** basée sur des groupes “quelconques”
[Yaglom 1961]
[Hannan 1965]
- possibilités accrues en dimension > 1 : rotations, isotropie, . . .
[Hillion *et al.*, *MGVIJ* 2006]

Pour quelles applications ?

1. des non-stationnarités...

- TF non paramétrique : **analyse exploratoire** (“visible speech” ▶ parole), **pré-modélisation, décisions** (détection/classification de transitoires et/ou “chirps” : ▶ VIRGO, EEG, ▶ ECG, etc.)
- test de “stationnarité” : **validation** d’emploi de méthodes “stationnaires”, **diagnostic** de changements, etc.

2. ...aux stationnarités généralisées

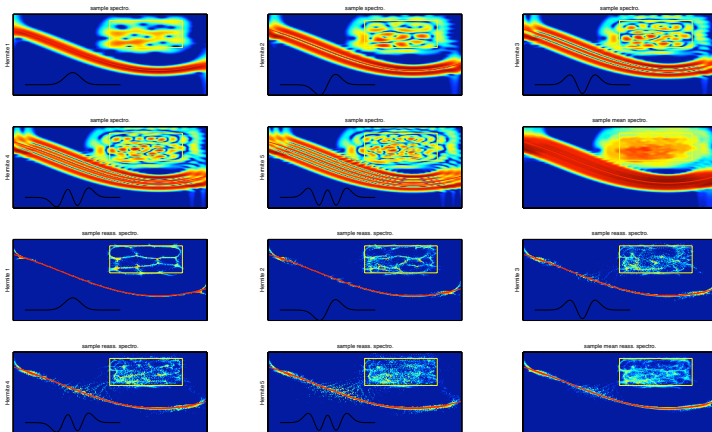
- analyse de **textures**
- lois d’échelle omniprésentes dans les **systèmes complexes** (turbulence, ▶ internet, réseaux sociaux ▶ VéloV, etc.)

Estimations

- **une réalisation** observée \Rightarrow moyenne d'ensemble \rightarrow moyenne temps-fréquence (identification à la “classe de Cohen”) [Cohen, *J. Math. Phys.* 1966]
- nombreux travaux dans les années 1980-1990
- amélioration au **conflit biais-variance** en non stationnaire [Xiao & F., *IEEE Trans. SP* 2007]
 1. **géométrique** : lissage \rightarrow **réallocation**
concentration énergétique sur les centres de gravité locaux
 2. **stochastique** : extra-lissage \rightarrow **multi-fenêtrage**
moyenne instantanée de projections (quasi-décorrélées) sur une base de fonctions orthogonales

Un cadre de description unifié

stochastique et déterministe



Nix = 256; Nth = 127

Invariances brisées et Lamperti généralisé ◀ retour

Contrainte

La fonction de renormalisation $g(\lambda)$ doit être telle que
 $g(\lambda_1 \odot \lambda_2) = g(\lambda_1) \otimes g(\lambda_2) \Rightarrow$ forme acceptable
 $g(\lambda) := S_{\otimes}^{-1}(S_{\odot}(\lambda)^{-H})$ avec $S_{\{\odot, \otimes\}} : \{\mathbb{A}, \mathbb{X}\} \rightarrow \mathbb{R}_*^+$ les
 morphismes associés aux nouvelles lois de composition

Définition

La **transformée de Lamperti généralisée** \mathcal{L}_H^g agit sur les
 processus $Y(t)$ selon $(\mathcal{L}_H^g Y)(t) := S_{\otimes}^{-1}(S_{\odot}(t)^H Y(\log S_{\odot}(t)))$

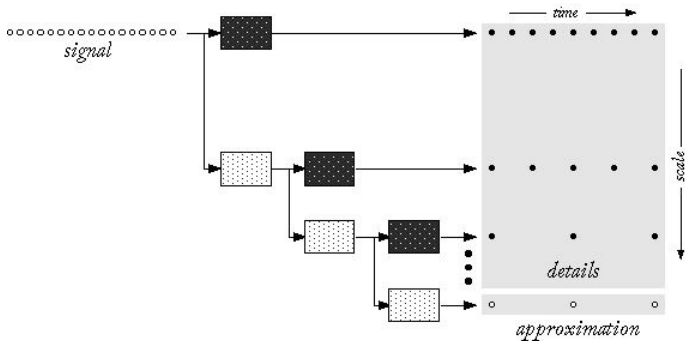
Corollaire

$(\mathcal{L}_H^g)^{-1} \mathcal{D}_{H,\lambda}^g \mathcal{L}_H^g = S_{\log S_{\odot}(\lambda)}$ et $(\mathcal{L}_H^g Y)(t) = S_{\otimes}^{-1}((\mathcal{L}_H Y)(S_{\odot}(t)))$

Exemple

Invariance d'échelle **de taille finie** par transformation de Lorentz
 sur l'échelle

Ondelettes

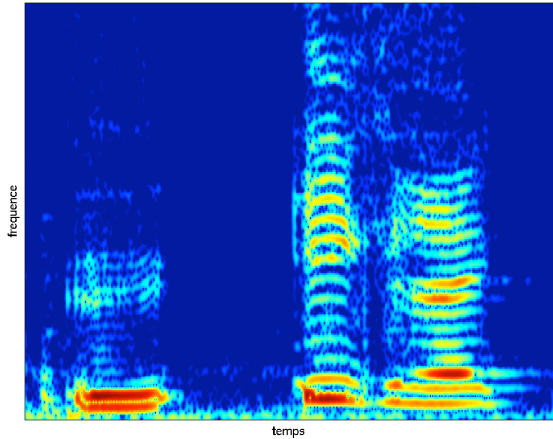


 *high-pass filter + decimation*

 *low-pass filter + decimation*

Parole

spectrogramme



Stationnarité ?
○○○○○○○○○○

Non-stationnarité(s)
○○○○○○○

Stationnarités
○○○○○○○○○○○○○○

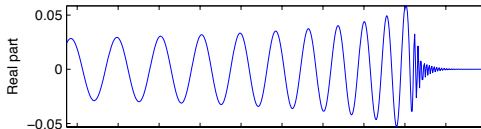
Quelles applications ?
○○○○○○●○○○○○○

L'interféromètre

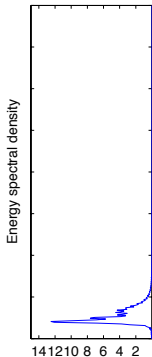


Coalescence de binaire

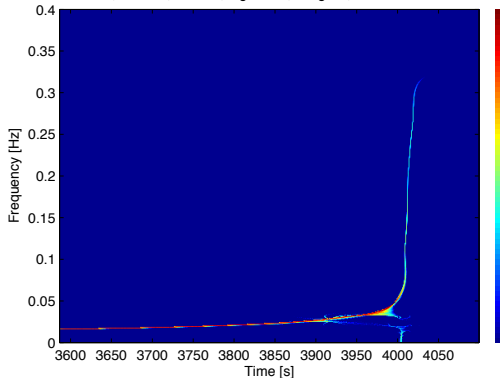
Signal in time



Linear scale

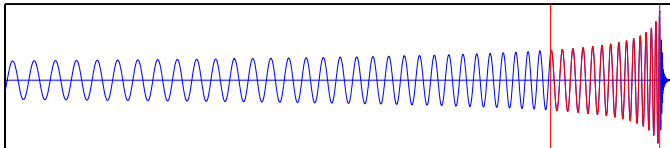


RSP, Lh=127, Nf=512, log. scale, imagesc, Threshold=0.1%

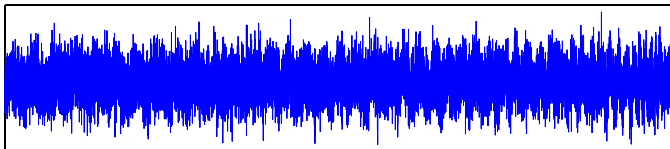


Filtrage adapté

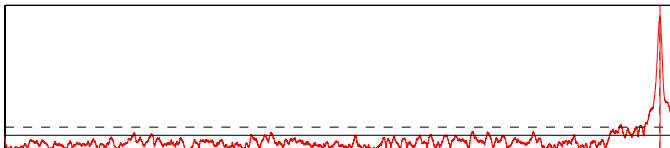
chirp de binaire coalescente + reference pour le filtre adapte



observation bruitée, SNR = -10 dB

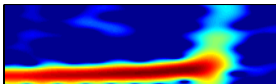


enveloppe de la sortie du filtre adapte

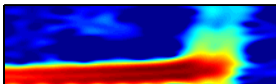


Estimations

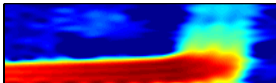
spectro. (M = 1)



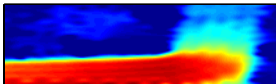
spectro. (M = 2)



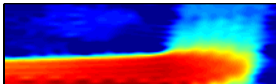
spectro. (M = 3)



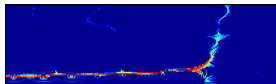
spectro. (M = 4)



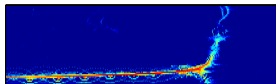
spectro. (M = 5)



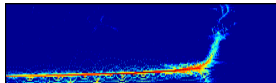
reass. spectro. (M = 1)



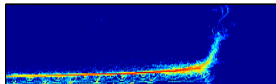
reass. spectro. (M = 2)



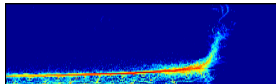
reass. spectro. (M = 3)



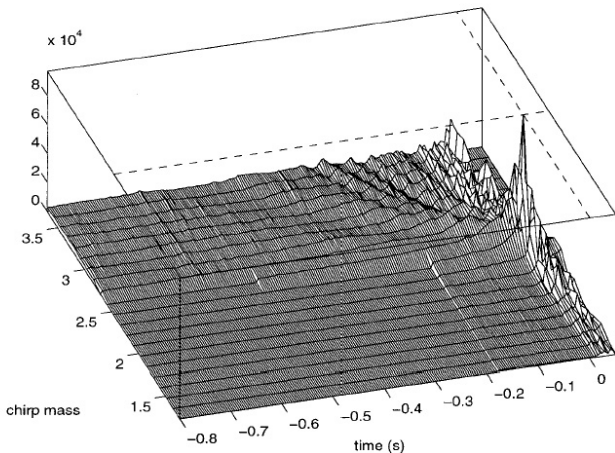
reass. spectro. (M = 4)



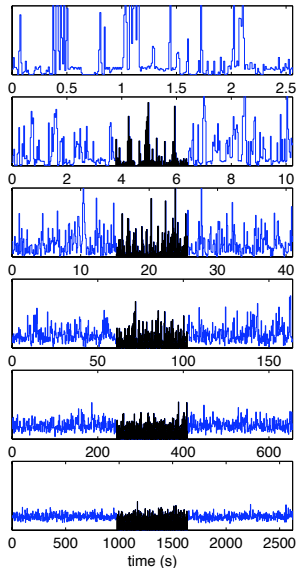
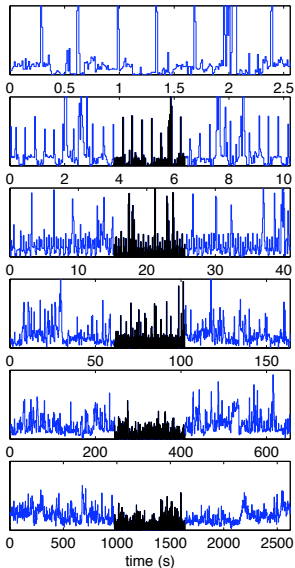
reass. spectro. (M = 5)



Filtrage adapté TF

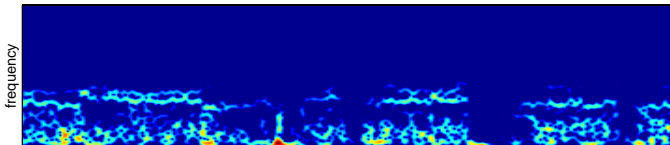


Données internet

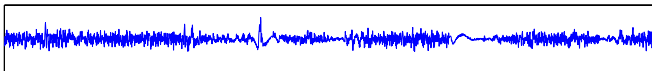
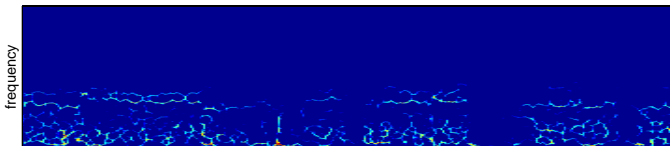


Données ECG

spectrogram



reassigned spectrogram

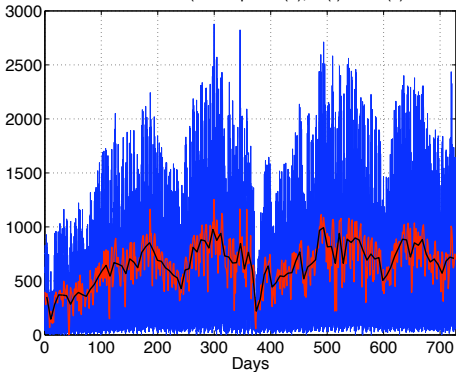


time

← retour

Données VéloV

#locations/h (Mean per h (b), d (r) week(k))



#locations/h (Mean per h (b), d (r) week(k))

